

Capitolo 1.2

Guida alla lettura delle schede specifiche per tumore

Guide to the cancer-specific data sheets

Elementi per l'interpretazione delle schede

Il Rapporto Airtum 2012 presenta un nucleo di schede tematiche relative alle 11 categorie diagnostiche principali secondo la terza edizione della classificazione ICCC (*International Classification for Childhood Cancer*) e per le principali categorie minori (sottogruppi di una categoria principale nella classificazione ICCC).

Per la definizione dei casi, si veda il capitolo «Materiali e metodi» (pp. 14-24).

Per ogni sede tumorale sono presentate tre schede: una relativa alla fascia di età 0-14 anni, una per la fascia di età 15-19 anni, un'ultima relativa a tutte le età (0-19 anni). Ogni scheda è costituita da due pagine. Il testo espone gli aspetti più rilevanti dell'epidemiologia descrittiva.

Interpreting the data sheets

This publication presents a set of data sheets for 11 major categories listed in the third edition of the International Classification for Childhood Cancer (ICCC) and for a selection of minor categories (subgroups of a main category in the ICCC classification).

See «Materials and methods» (pp. 14-24) for inclusion criteria.

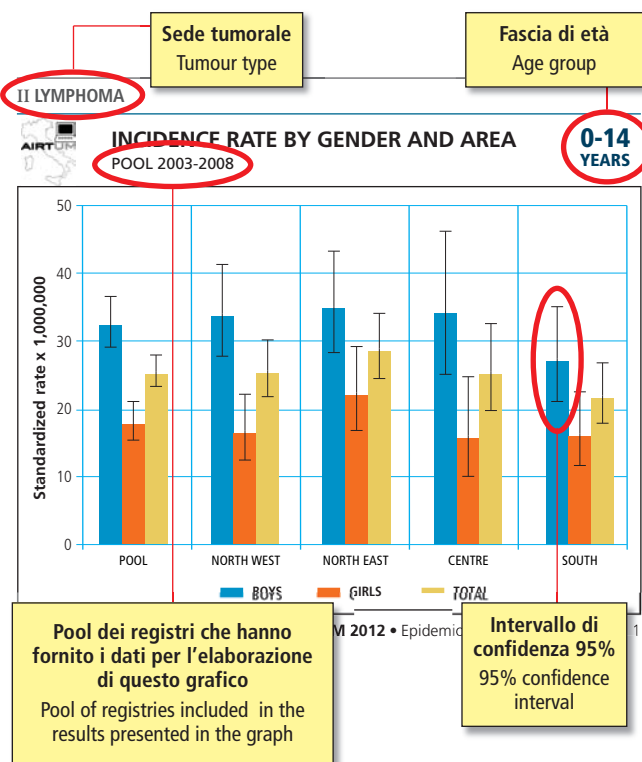
Each data sheet has the same layout and presents information similarly, with a few exceptions for the minor ICCC categories.

For each cancer site we present three data sheets: one for the 0-14 years age group, one for the 15-19 years age group, one for the overall 0-19 years age group. Each data sheet is two pages long. The text outlines the most significant descriptive epidemiology aspects.



Grafico dei tassi di incidenza per genere e area geografica

Incidence rate by gender and geographic area



La figura mostra i tassi di incidenza nell'insieme dei registri AIRTUM nel periodo 2003-2008. Questo indicatore riporta il numero medio di casi diagnosticati ogni anno ogni 1.000.000 di soggetti residenti appartenenti rispettivamente alle fasce d'età 0-14 anni, 15-19 anni o 0-19 anni. Il tasso di incidenza è standardizzato per età sulla popolazione europea quando appropriato. Tutti i tassi sono presentati insieme al loro intervallo di confidenza al 95%.

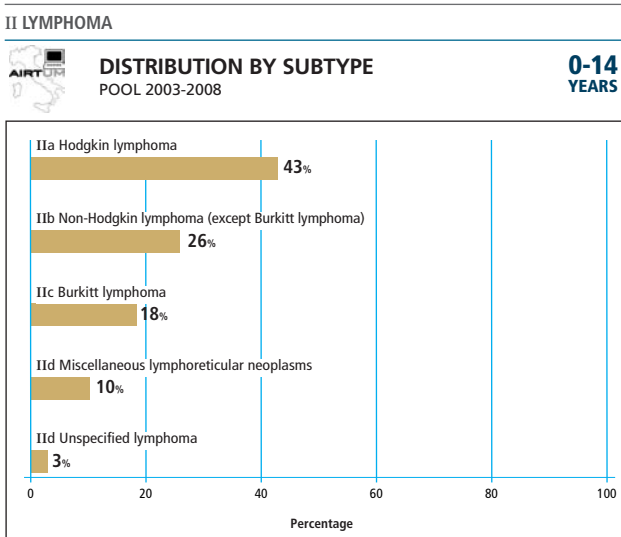
Per le sottosedi tumorali – per esempio la leucemia linfatica acuta – questa figura non è presente: sono invece riportati due grafici distinti, uno relativo ai tassi di incidenza per genere, uno ai tassi di incidenza per area geografica.

This graph shows incidence rates observed in the AIRTUM cancer registries during the period 2003-2008. Rates are per 1,000,000 children/year in the 0-14 years, 15-19 years, and 0-19 years age group, respectively. The incidence rates are age-standardized to the European population, when appropriate. All rates are given along with their ninety-five percent confidence intervals.

For subcategories, such as acute lymphocytic leukaemia, this graph is not presented: instead, two separate graphs show incidence rates by gender and incidence rates by geographic area.

Grafico della distribuzione di frequenza per sottotipo

Frequency distribution by subcategory



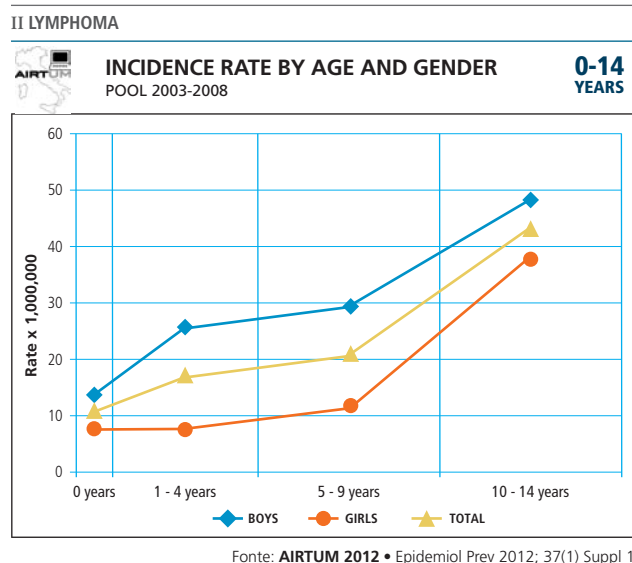
Fonte: AIRTUM 2012 • Epidemiol Prev 2012; 37(1) Suppl 1

Questa figura, presente in tutte le schede relative a macrosedi tumorali della classificazione ICC3, riporta la distribuzione percentuale dei più frequenti sottotipi di neoplasia o delle diverse localizzazioni topografiche. Si riferisce ai casi incidenti nel pool AIRTUM 2003-2008 relativamente alla classe di età oggetto della scheda.

This graph, available for all ICC3 major categories, shows distribution of more frequent subcategories (different cancer types or different topographic locations) based on the cases diagnosed in the AIRTUM pool 2003-2008, limited to the specific age-group.

Grafico dei tassi di incidenza per età e per genere

Age-specific incidence rate by gender

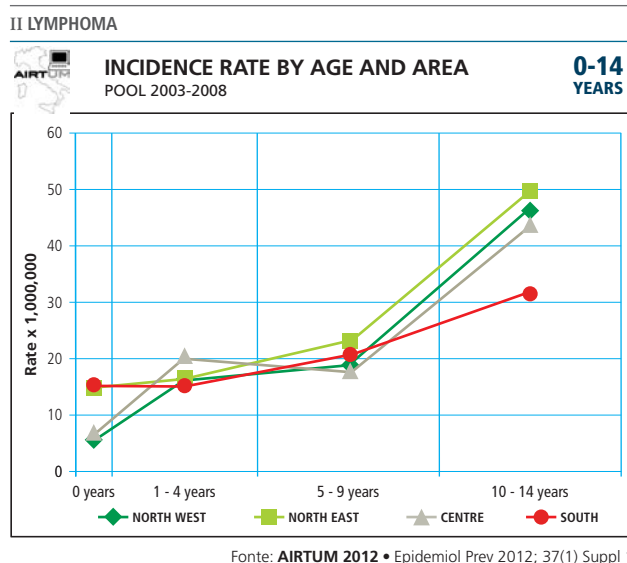


La figura mostra i tassi di incidenza osservati nelle specifiche fasce di età (<1 anno, 1-4 anni, 5-9 anni, 10-14 anni e 15-19 anni) nell'insieme dei registri AIRTUM nel periodo 2003-2008. Questo indicatore riporta il numero medio di casi diagnosticati ogni anno ogni 1.000.000 di soggetti appartenenti alla specifica fascia di età. L'informazione è rappresentata distintamente per i maschi, le femmine e per il totale. Questo grafico non è presente nelle schede tumore-specifico relative alla fascia di età adolescenziale.

This graph shows the incidence rates observed in specific age groups (<1 year, 1-4 years, 5-9 years, 10-14 years, and 15-19 years) in the AIRTUM pool during the period 2003-2008. Rates are per 1,000,000 children/year in each age group, and are given separately for males, females, and both genders together. We do not show this graph in the cancer-specific data sheets on adolescents.

Grafico dei tassi di incidenza per genere e per area geografica

Incidence rate by gender and geographic area



La figura mostra i tassi di incidenza nell'insieme dei registri AIRTUM nel periodo 2003-2008. Questo indicatore riporta il numero medio di casi diagnosticati ogni anno ogni 1.000.000 di soggetti residenti appartenenti rispettivamente alle fasce d'età 0-14 anni, 15-19 anni o 0-19 anni. Il tasso di incidenza è rappresentato separatamente per le quattro aree geografiche considerate in questa monografia (Nord-ovest, Nord-est, Centro e Sud)

Questo grafico non è presente nelle schede relative alla fascia di età adolescenziale.

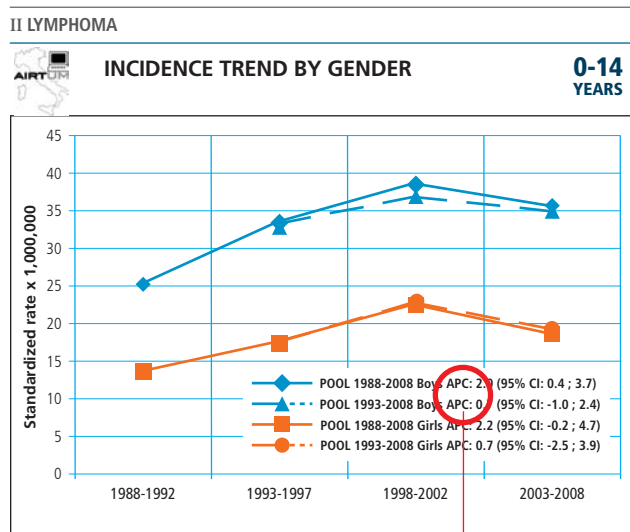
This graph shows incidence rates observed in the AIRTUM cancer registries during the period 2003-2008. Rates are per 1,000,000 children/year in the 0-14 years, 15-19 years, and 0-19 years age group, respectively.

This graph shows incident rates by geographic area.

We do not show this graph in the cancer-specific data sheets on adolescents.

Grafico degli andamenti temporali dei tassi di incidenza per genere

Incidence time trend by gender



Fonte: AIRTUM 2012 • Epidemiol Prev 2012; 37(1) Suppl 1

Variazione media annua con ipotesi di andamenti costanti
Average percent annual change under assumption of constant change

In questa figura sono riportati, separatamente per maschi e femmine, i tassi di incidenza standardizzati per età sulla popolazione europea relativi a 4 periodi temporali distinti (1988-1992, 1993-1997, 1998-2002, 2003-2008).

Come definito in dettaglio nel capitolo «Materiali e metodi», sono stati individuati due pool di registri: il pool a 11 registri è costituito dai registri tumori che avevano disponibilità informativa a partire dal quinquennio 1988-1992, il pool a 17 registri è costituito dai registri tumori che avevano disponibilità informativa a partire dal quinquennio 1993-1997.

Quando possibile, ovvero per le combinazioni arealsede in cui non si sono osservati anni con 0 casi, è stata calcolata l'APC (annual percent change).

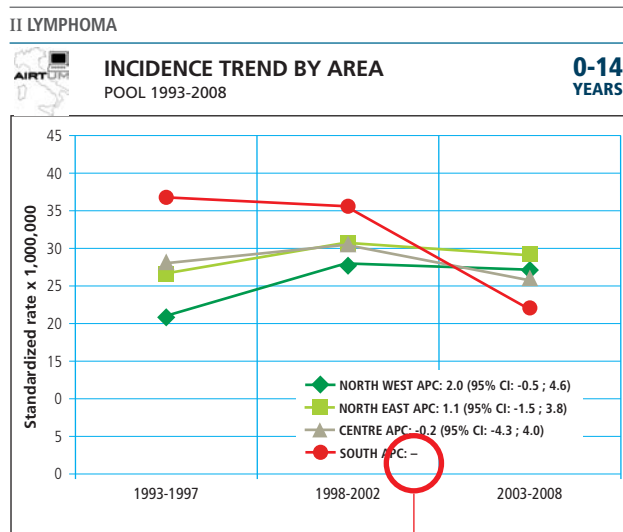
This graph shows, separately for males and females, age-standardized (European population) incidence rates observed in each of four consecutive periods (1988-1992, 1993-1997, 1998-2002, 2003-2008).

As defined in detail in the «Materials and Methods» chapter, two pools of cancer registries were identified: one pool consists of 11 cancer registries with information available for the five-year period 1988-1992, the other pool consists of 17 cancer registries with information available for the five-year period 1993-1997.

The Annual Percent Change (APC) was calculated when possible, i.e., for areal/site combinations in which all calendar years had >0 cases.

Grafico degli andamenti temporali di incidenza per età e per area geografica

Age-specific incidence rate by geographic area



Fonte: AIRTUM 2012 • Epidemiol Prev 2012; 37(1) Suppl 1

Valori non calcolabili
Value cannot be computed

In questa figura sono riportati i tassi di incidenza standardizzati per età sulla popolazione europea relativi a 3 periodi temporali distinti (1993-1997, 1998-2002, 2003-2008) per area geografica.

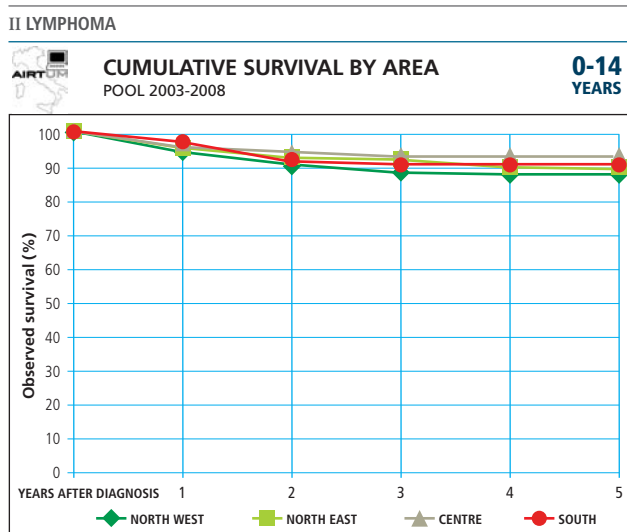
Quando possibile, ovvero per le sedi tumorali in cui non si sono osservati anni con 0 casi, è stata calcolata l'APC (annual percent change).

This graph shows incidence rates, age-standardized to the European population, observed in each of four consecutive periods (1988-1992, 1993-1997, 1998-2002, 2003-2008), by geographic area.

The Annual Percent Change (APC) was calculated when possible, i.e. for areal/site combinations in which all calendar years had >0 cases.

Grafico della sopravvivenza a 5 anni dalla diagnosi per area geografica

Five-year survival



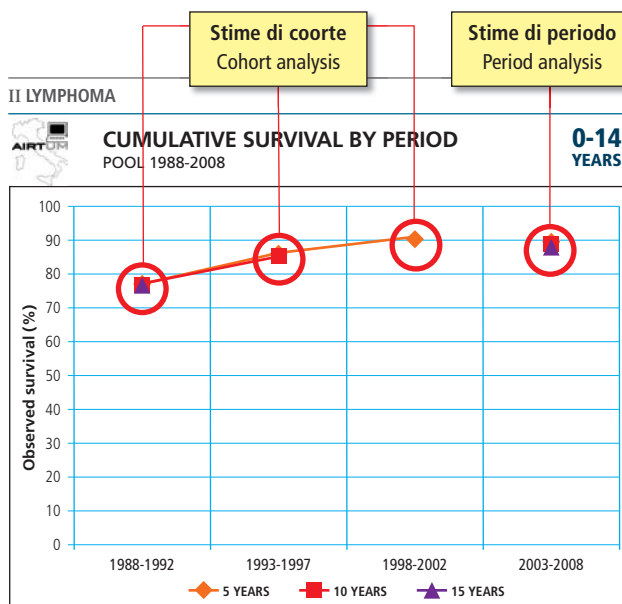
Fonte: AIRTUM 2012 • Epidemiol Prev 2012; 37(1) Suppl 1

In questa figura sono riportate le curve di sopravvivenza fino a 5 anni dalla diagnosi, calcolate con approccio di periodo con finestra 2003-2008, stratificate per area geografica.

This graph shows survival curves up to 5 years after diagnosis, estimated by period approach (period window 2003-2008), stratified by geographic area.

Grafico dei trend di sopravvivenza a 5, 10 e 15 anni dalla diagnosi

Trend for 5-, 10-, and 15-year survival



Fonte: AIRTUM 2012 • Epidemiol Prev 2012; 37(1) Suppl 1

I dati a disposizione consentono di valutare la sopravvivenza osservata a 5, 10 e 15 anni dalla diagnosi, a partire dalla fine degli anni Ottanta, se si considera il pool costituito da 11 registri tumori. Grazie alla tecnica della sopravvivenza di periodo, è stata stimata anche la sopravvivenza che ancora non è osservabile (per esempio, la sopravvivenza a 10 anni dei tumori diagnosticati nel 2003-2008 o la sopravvivenza a 15 anni dei tumori diagnosticati nel 1993-1997).

Available data from the pool of 11 cancer registries enable us to assess observed survival 5, 10, and 15 years after diagnosis, starting from the late 1980s.

Survival which is not yet observable (e.g., 10-year survival for cancer cases diagnosed during the period 2003-2008, or 15-year survival for cancer cases diagnosed during the period 1993-1997) was estimated using period analysis.